

特征选择的多准则融合差分遗传算法及其应用

关晓颖, 陈果*, 林桐

南京航空航天大学 民航学院, 南京 210016

摘要: 为了全面评价特征子集的好坏, 提高特征子集作为最佳子集的可靠性, 以及更快找到最佳子集, 提出了一种用于特征选择的多准则融合差分遗传算法。引入多个评价准则对特征子集进行评价, 并对遗传算法的选择算子进行改进, 有利于选出适应度高且具有重要特征的个体; 同时, 引入差分策略改进变异算子, 提高种群多样性和算法搜索能力; 最后通过仿真实验和滚动轴承实验验证了该方法的有效性。

关键词: 特征选择; 多准则; 差分进化; 遗传算法; 滚动轴承; 故障诊断

中图分类号: V263.6 文献标识码: A 文章编号: 1000-6893(2016)11-3455-11

特征选择的任务就是求出一组对分类最有效的特征, 即在特征维数减少到同等水平时, 其分类性能最佳。Filter 法和 Wrapper 法是常用的方法。Filter 法利用单独的可分性准则来选择特征; Wrapper 法利用分类器进行特征选择^[1]。由于 Wrapper 法是直接利用分类器的错误率作为特征选择的依据, 具有特征选择精度高的优点, 但由于每次选择子集后都需要进行学习训练, 耗时大。而 Filter 法的单个评价准则不能全面评价特征子集的好坏。基于此, 特征选择既要定义有效的可分性准则进行特征评价, 还需要设计有效的算法提高最优特征组合的可靠性和搜索效率。

特征选择的过程可以看作是一个求解组合优化问题的过程, 因此可以用解决组合优化问题的方法来解决特征选择问题。遗传算法 (Genetic Algorithm, GA) 在这方面具有很大的潜力, 尤其当选择的特征空间很大 (特征维数很高) 且对特征间

的关系缺乏认识时。遗传算法通过模拟自然界中生物进化的遗传规律寻找最优的进化结果, 属于带导向性的随机优化算法, 具有良好的全局搜索能力和隐含的并行性。目前, 遗传算法被广泛应用于特征选取, 国内外学者对基于遗传算法的特征选择方法进行了研究并取得良好的效果^[2-8]。

然而, 现有应用于特征选择的遗传算法中, 对于 Filter 方法, 更多是采用单个评价准则; 其次, 在 GA 的改进上, 未充分考虑特征权重对 GA 搜索的引导性, 以及传统的变异算子不容易变异得到更多的优秀个体。有鉴于此, 本文提出一种用于特征选择的多准则融合的差分遗传 (Differential Evolution and Genetic Algorithm with Multi-criteria Evaluation, MEDEGA) 算法, 算法的第 1 阶段采用 ReliefF 算法^[9] 获得特征权重, 为第 2 阶段的 GA 搜索提供先验知识和导向; 第 2 阶段提出差分遗传算法, 以简单遗传算法 (Simple Ge-

收稿日期: 2015-11-19; 退修日期: 2016-01-14; 录用日期: 2016-01-29; 网络出版时间: 2016-02-02 16:27

网络出版地址: www.cnki.net/kcms/detail/11.1929.V.20160202.1627.004.html

基金项目: 国家自然科学基金 (61179057)

* 通讯作者. Tel.: 025-84891850 E-mail: cgzyx@263.net

引用格式: 关晓颖, 陈果, 林桐. 特征选择的多准则融合差分遗传算法及其应用[J]. 航空学报, 2016, 37(11): 3455-3465. GUAN X Y, CHEN G, LIN T. Feature selection method based on differential evolution and genetic algorithm with multi-criteria evaluation and its applications[J]. Acta Aeronautica et Astronautica Sinica, 2016, 37(11): 3455-3465.

netic Algorithm, SGA)为基础,利用特征权值,并结合适应值对选择算子进行改进,以及采用差分策略改进变异算子,另外,还以特征子集作为整体进行评价;第3阶段注重最优特征子集的可靠性评价,在每次GA终止时得到的结果进一步评价,选择频繁出现的特征或特征组合,避免偶尔出现的特征所产生的干扰。算法实现了加快种群收敛速度,提高算法性能,有效改善特征选择的效果。最后,用仿真实例验证了方法的有效性,并将方法应用于滚动轴承故障特征的选择研究,得到了滚动轴承故障诊断的最优特征子集。

1 多准则融合差分遗传算法

1.1 算法基本流程

遗传算法是模拟遗传继承和达尔文的适者生存原理,它以适应度函数(或目标函数)为依据,通过对群体施加遗传算子操作来实现群体内个体基因重组的迭代处理过程,逐代演化产生出越来越好的近似解。遗传算法的实现涉及5个主要因素:个体的编码、初始群体的设定、适应度函数(评价函数)的设计、遗传算子(选择、交叉、变异、精英策略)和算法控制参数。特征选择的过程就是一个求解组合优化问题的过程,为了求得最优特征子集及提高算法的性能,遗传算法要重点解决的问题有:①构造适应度函数;②遗传算子(选择、杂交和变异)的设计。

针对Filter方法的单个评价准则不能全面评价特征子集的好坏,为了提高选择精度,以及提高特征子集作为最佳子集的可靠性,本文提出了多准则融合差分遗传算法用于特征选择,分别从3个方面去选择和评价特征子集:第一,单个特征对分类的贡献,为GA搜索提供先验知识和导向。采用ReliefF算法计算单个特征权值,权值越大,则该特征对分类的影响就越大;第二,特征子集作为一个整体进行评价,选取类间距离大、类内距离小的特征子集;第三,提高最优特征子集的可靠性,避免偶尔出现的特征所产生的干扰,结合多次测试的结果,选择频繁出现的特征或特征组合。图1为基于多准则融合的特征选择示意图,图2为MEDEGA算法的流程图。

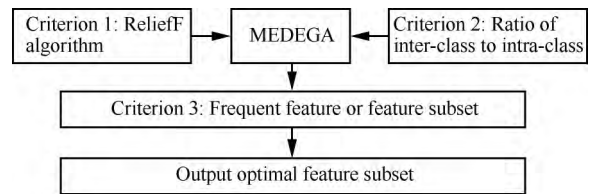


图1 基于多准则融合的特征选择示意图

Fig. 1 Illustration of feature selection based on multi-criteria

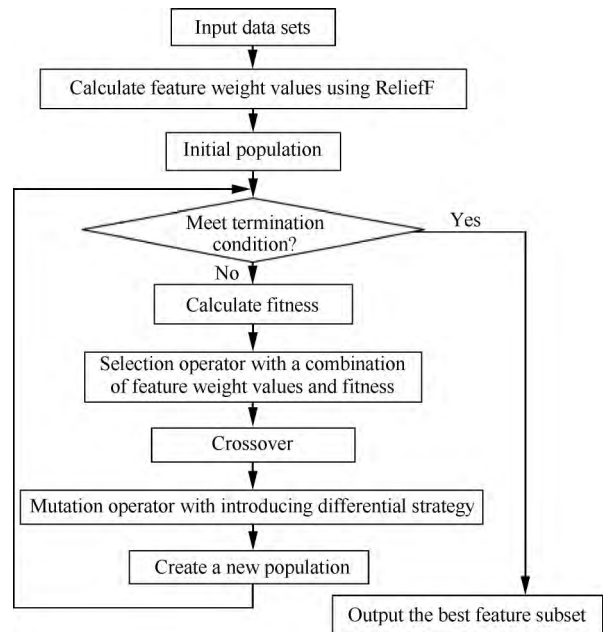


图2 提出的多准则融合差分遗传(MEDEGA)算法流程图
Fig. 2 Flowchart of proposed differential evolution and genetic algorithm with multicriteria evaluation (MEDEGA) algorithm

1.2 算法关键技术

1.2.1 ReliefF 算法

ReliefF 算法^[9]是Kononenko在1994年提出的,它是一种改进的Relief算法,也是目前Filter特征选择的方法之一,它主要用于处理多类问题以及回归问题。通过不断调整权值,使得和类别相关性高的特征赋予较高的权值。

算法的主要思想是:每次从训练样本集 D 中随机取出一个样本 R_i ,找出与样本 R_i 同类的 k 个最近邻 H_j ,对每个类 $C \neq \text{class}(R_i)$,找出与 R_i 不同类的 k 个最近邻 $M_j(C)$,然后根据式(1)更新每个特征的权值:

$$W(A) = W(A) - \sum_{j=1}^k \text{diff}(A, R_i, H_j) / (mk) + \sum_{C \neq \text{class}(R_i)} \left[\frac{p(C)}{1 - p(\text{class}(R_i))} \cdot \sum_{j=1}^k \text{diff}(A, R_i, M_j(C)) \right] / (mk) \quad (1)$$

式中: $\text{diff}(A, R_1, R_2)$ 表示样本 R_1 和样本 R_2 在特征 A 上的差; m 为重复次数。 $\text{diff}(A, R_1, R_2)$ 的计算公式为

$$\text{diff}(A, R_1, R_2) = \frac{|R_1[A] - R_2[A]|}{\text{Max}(A) - \text{Min}(A)} \quad (2)$$

然而,虽然 ReliefF 算法适合处理具有大量实例的高维数据集,评估效率高,在噪声过滤方面表现优异,但它不能去除冗余特征^[10]。

1.2.2 适应度函数

由于特征之间可能存在不同程度的相关性,不应只关注单个特征对分类的贡献,应将特征子集作为一个整体进行评价,选取类间距离大、类内距离小的特征子集。因此,本文定义特征子集的类间距离与类内距离之比作为适应度函数,其计算公式为

$$f = \frac{\sum_{j=1}^c \|\bar{x}^{(j)} - \bar{x}\|^2}{\sum_{j=1}^c \frac{1}{n_j - 1} \sum_{k=1}^{n_j} \|x_k^{(j)} - \bar{x}^{(j)}\|^2} \quad (3)$$

式中: $\bar{x}^{(j)}$ 为特征子集在 j 类的均值向量; \bar{x} 为特征子集在全体数据集的均值向量; $x_k^{(j)}$ 为第 j 类的第 k 个样本向量; n_j 为第 j 类的样本数; c 为类别数。

式(3)中的分子衡量了类间的疏散程度,值越大,则说明类间越疏散;分母衡量了类内的聚集程度,值越小,则说明类内越聚集。

1.2.3 特征权值与适应值相结合的选择算子

采用 ReliefF 计算得到特征权值,得到了单个特征对分类的贡献;适应度函数从类间与类内距离计算特征子集整体对分类的贡献。特征权值作为先验知识,为算法搜索提供导向性,将适应度高且具有重要特征的个体选出,本文设计了特征权值与适应值相结合的选择算子,具体如下:

1) 计算特征子集权值的均值;假设特征子集

的特征个数为 n , $W(A_i)$ 为特征 A_i 的权值,则计算特征子集权值的均值为

$$\text{aver} = \frac{1}{n} \sum_{i=1}^n W(A_i) \quad (4)$$

2) 计算个体 k 的适应值在种群中的比重

$$S_k = f_k / \sum_{i=1}^m f_i \quad (5)$$

式中: m 为种群规模; f_k 为个体 k 的适应值。

3) 计算个体被选择的概率

$$p_k = t \cdot \text{aver} + (1 - t) S_k \quad (6)$$

式中: t 为 $[0, 1]$ 的随机数,表示适应值与特征权值的比重。本文取 $t = 0.5$ 。

4) 计算累积概率以构造一个轮盘。

5) 轮盘赌选择:在 $[0, 1]$ 区间内产生一个随机数,若该随机数小于或等于个体 k 的累积概率且大于个体 $k-1$ 的累积概率,则选中个体 k 。

1.2.4 差分变异

差分进化(Differential Evolution, DE)是一种基于群体差异的启发式随机搜索算法,变异操作方面使用差分策略,即利用种群中个体间的差分向量对个体进行扰动,实现个体变异。DE的变异方式有效利用群体分布特性,提高算法搜索能力,避免遗传算法中变异方式的不足^[11]。

本文采用了改进的差分变异^[12],在每一个新个体的生成过程中用到了父代多个个体的线性组合,而不是遗传算法传统单一的父代染色体交叉技术;并且根据两个父代的度量距离来决定变异基因位数,然后根据式(10)计算基因值。有利于提高种群的多样性和提高算法的搜索能力。具体如下:

1) 随机选择 3 个不同父代个体 r_1, r_2, r_3 。

2) 计算两个父代个体的距离

$$\text{dist} = \sqrt{\sum_{i=1}^{\text{NVARs}} (r_2^{(i)} - r_3^{(i)})^2} \quad (7)$$

式中: $r_j^{(i)}$ 为个体 r_j ($j = 1, 2, 3$) 的第 i 个基因值; NVARs 为个体的基因数目。

3) 确定个体变异基因数, p 为 $(0, 1)$ 随机数。

$$\text{dm} = \begin{cases} (\text{int})\text{dist} + 1 & \text{if } p < (\text{dist} - (\text{int})\text{dist}) \\ (\text{int})\text{dist} & \text{Otherwise} \end{cases} \quad (8)$$

4) 每个基因位的变异:随机选择一个基因位 i , 设该基因位的值表示为 h_i ; 根据选出的 3 个父代个体, 使用式(9)计算它们在基因位 i 的线性组合并赋给 h_i , 即

$$h_i = r_1^{(i)} + F(r_2^{(i)} - r_3^{(i)}) \quad (9)$$

式中: F 为缩放因子, 一般是取值范围为 $[0, 2]$ 的常量, 用于控制差分向量的扰动程度。经验表明 F 取值太小容易使种群过早收敛, 而 F 取值过大时算法收敛速度会明显下降^[13]。本文取 $F = 1.0$ 。

由于 r_1, r_2, r_3 的取值是 0 或 1 (文中所有 GA 的编码方式均采用二进制编码), 这 3 个变量取值就有 8 种组合, 而根据式(9)计算得到, 其中 6 种组合的结果是 0 或 1, 而另外 2 种组合(001 和 110)的结果分别是 -1 和 2, 因此, h_i 的最终值可根据式(10)计算得到:

$$h_i = \begin{cases} h_i & \text{if } h_i = 0 \text{ or } h_i = 1 \\ 0 & \text{if } \frac{1}{1 + e^{-h_i}} < \text{rand}(0, 1) \\ 1 & \text{Otherwise} \end{cases} \quad (10)$$

2 仿真数据验证

2.1 仿真数据

为了测试算法的寻优能力, 作了如下仿真试验。样本数共 281 个, 3 类样本组成, 这 3 类的样本数分别为 93、108 和 80, 特征维数为 20, 其中特征 1 和特征 2 是有效的分类特征, 特征 3 至特征 20 的取值为 0 到 1 之间的随机数, 对分类基本不起任何作用。各样本在特征 1 和 2 张成的空间的分布如图 3(a) 所示, 特征 3 和特征 4 的分布如图 3(b), 图 3 中每种颜色代表一种类别。显然, 遗传优化的目标是得到最优特征组合 11000000000000000000。

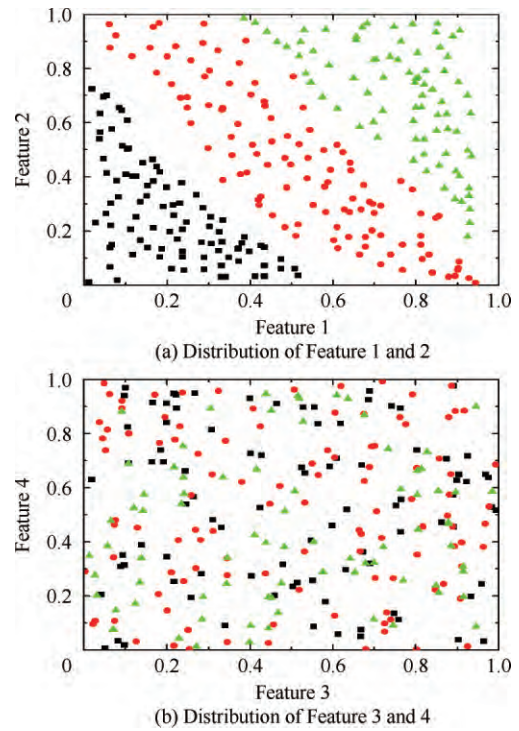


图 3 仿真数据

Fig. 3 Simulation data

2.2 算法结果及分析

为了验证 MEDEGA 算法的性能, 与其他 3 种算法进行比较, 这 3 种算法分别是: 差分遗传算法 (Different Evolution and Genetic Algorithm, DEGA)、基于 ReliefF 的遗传算法 (Genetic Algorithm based on ReliefF, RGA)、SGA。遗传算子设置如表 1 所示。

其他参数取值及说明如下:

1) 交叉率。取值过大会破坏群体中的优良模式, 不利于进化, 取值过小, 产生新个体的速度较慢, 一般建议取值范围是 $0.4 \sim 0.99$ ^[14], 本文交叉率取值为 0.7。

表 1 4 种算法的遗传算子

Table 1 Genetic operators in four algorithms

Operator	MEDEGA	DEGA	RGA	SGA
Selection	Combination of feature weight values and fitness	Roulette selection	Combination of feature weight values and fitness	Roulette selection
Crossover	One-point crossover	One-point crossover	One-point crossover	One-point crossover
Mutation	Differential mutation	Differential mutation	Uniform mutation	Uniform mutation

2) 变异率。取值较大可能会破坏很多较好的模式,取值太小则产生新个体的能力和抑制早熟现象能力较差,一般建议取值范围是 0.000 1~0.1^[14],本文变异率取值为 0.05。

算法共测试 50 次,每次运行 100 代。

2.2.1 研究算法的收敛速度

图 4 所示是在 50 次测试中选取各种算法最快找到最优特征组合的一次测试,并分别从 4 种种群

规模为 80、100、150 和 200 对 4 种算法的收敛情况进行分析。从图中可得到,在不同的种群,MEDEGA 都能最快找到最优解,基本都在 10 代以内就收敛到最优解;当在种群规模为 80 和 100 时,MEDEGA 和 DEGA 找到最优解的速度相差不大,但和 RGA 或 SGA 差别就大;但当在种群规模为 150 和 200 时,4 种算法的差别就没那么明显,但种群规模大,搜索时间就需要更多。因此,总体来看,MEDEGA 在不同种群规模中收敛速度均是最快的。

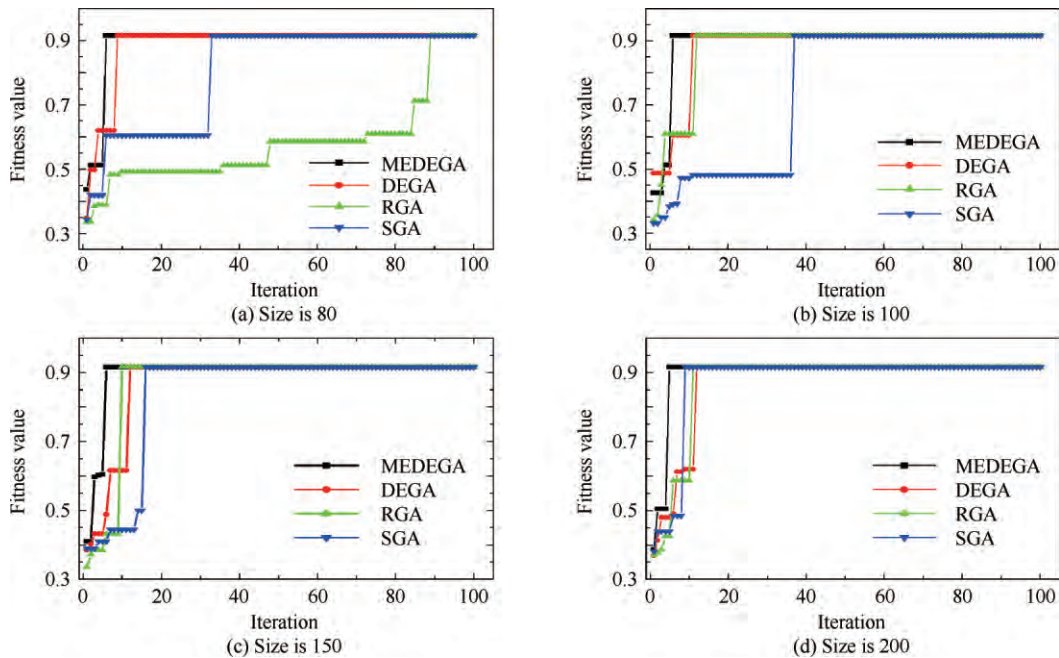


图 4 4 种算法在不同种群规模的收敛曲线图

Fig. 4 Convergence graphs of different population sizes with four algorithms

2.2.2 种群均值情况

图 5 所示是在 50 次测试中选取各种算法最快找到最优特征组合的一次测试,分析种群均值情况。从图中可得到,MEDEGA 和 DEGA 这两种算法种群均值比 RGA 和 SGA 的种群均值高很多,特别是 MEDEGA,在进化初期比其他 3 种算法的种群均值都高,这说明在进化初期就能快速搜索到优秀的个体,并且将父代优秀的基因或基因模式学习并遗传给后代。

2.2.3 最优特征子集可靠性

从 50 次测试的角度对各种算法找到的最优特征子集可靠性进行分析。其中,表 2 中的“Fre-

quency of the best feature subset”是指在 50 次测试中,成功找到最优特征组合“1100000000 0000000000”的次数;“Frequency of the optimum pattern”是指 50 次测试中成功找到特征最佳模式“11* * * * * * * * * * * * * * * *”的次数(“*”代表一个“0”或“1”);“Solution speed”表示 50 次测试中成功找到最优特征组合的平均求解次数。

在表 2 中,从成功找到最优特征组合次数和求解速度这两个方面来看,MEDEGA 和 DEGA 相差不太大,MEDEGA 略优于 DEGA,但 MEDEGA 和 DEGA 明显优于 RGA 和 SGA;从找到最佳模式的次数来看,MEDEGA 较其他 3 种算法具有明显的优势。由于在实际应用中,遗传算法

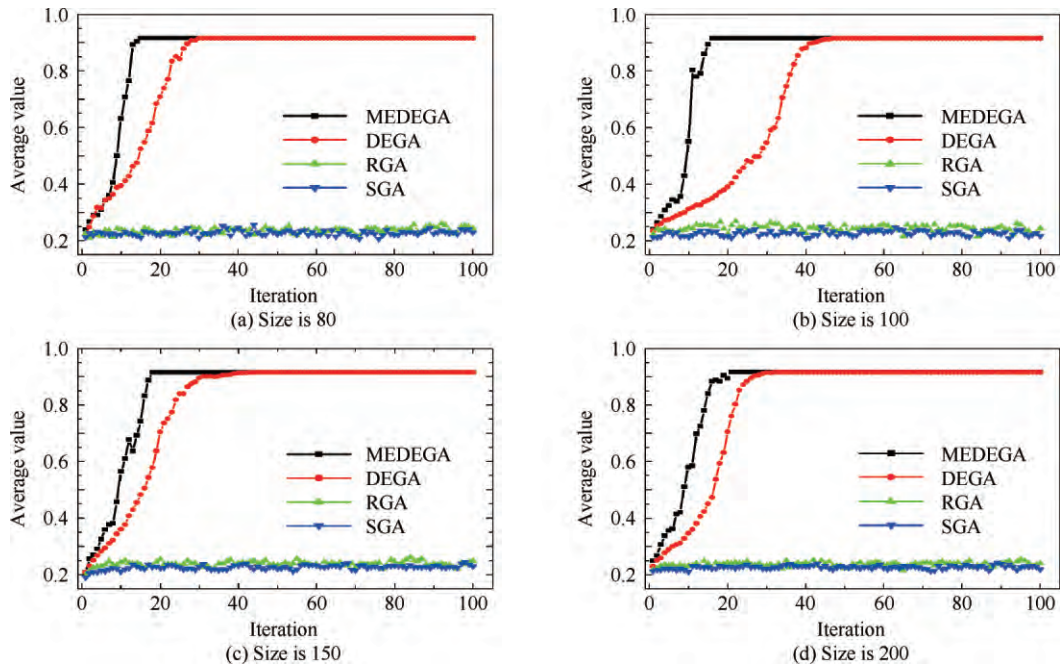


图 5 4 种算法在不同种群规模的种群均值

Fig. 5 Average values of different population sizes with four algorithms

表 2 可靠性和求解速度的比较数据

Table 2 Comparison of reliability and solution speed

Algorithm	Population size	Frequency of the best feature subset	Frequency of the optimum pattern	Solution speed
MEDEGA	80	17	43	19
	100	28	44	15
	150	22	46	16
	200	23	43	12
DEGA	80	22	32	26
	100	26	28	21
	150	20	20	22
	200	13	13	17
RGA	80	2	32	90
	100	6	28	52
	150	14	29	59
	200	8	27	46
SGA	80	5	36	71
	100	5	32	57
	150	5	25	67
	200	7	32	46

的适应度函数设计要结合实际问题,综合考虑各方面的因素,并且往往有些方面是互相制约的。因此,为了避免偶然性或干扰性,增加找到解的可靠性及适用性,本文根据最优适应值所对应的特征组合,综合考虑 50 次测试中特征或特征组合出现次数。当某个特征或特征组合出现的次数越多,说明选中它们是更可靠的。因此,从结果来看,本文所采取的方法对提高解的可靠性和适用性是有效的。

综合以上图 4、图 5 和表 2 的分析:图 4 和图 5 是对 50 次测试中的一次测试进行比较分析,从种群收敛速度和种群均值这两个方面对算法的性能进行分析;表 2 则从 50 次测试进行总体分析。可以看出 MEDEGA 比其他 3 种算法表现得更优,这是因为 MEDEGA 算法以特征权值作为先验知识,对算法的搜索起到引导作用;另外,变异操作采用差分变异,将 3 个不同父代个体进行线性组合生成一个新的个体,这更利于将父代优秀的基因或基因模式学习并遗传给后代。同时,还综合考虑最优适应值及其对应特征或特征组合选中的次数,增加最终选出的特征组合的可靠性和适用性。另外,MEDEGA 和 DEGA 在各方面的性能相差不大,但 MEDEGA 与 RGA 的性能

相差比较大,说明差分变异与权值相比,差分变异对算法的性能改善作用更大。

3 滚动轴承故障特征选择

3.1 滚动轴承故障模拟实验

采用沈阳发动机设计研究所研制的带机匣的航空发动机转子试验器进行故障模拟实验^[15],分别在试验器垂直上方和水平方向布置加速度传感器,获取机匣的振动加速度信号,振动信号通过NI USB9234 数据采集器进行采集,加速度传感器信号为B&K 4805,采样频率为10.24 kHz,实验的对象为6206型滚动轴承,轴承参数如表3所示,试验器如图6所示。分别在转速为1 500、1 800、2 000、2 400 r/min下进行了3组故障模拟试验,每组试验数据包括正常、外圈故障、内圈故障、以及滚动体故障4种状态(如图7所示),每个转速下均有两个测点,其中CV为涡轮机匣垂直上方测点,CH为涡轮机匣水平方向测点。

利用时域、频域和时频分析法得到13个无量

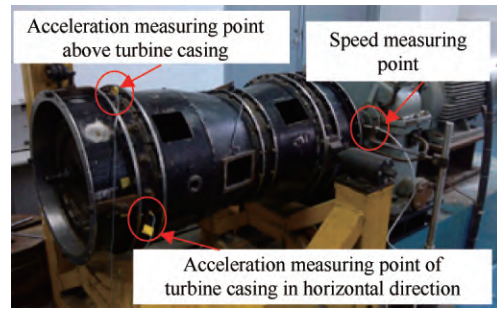


图6 航空发动机转子试验器
Fig. 6 Aero-engine rotor test rig

纲特征量^[16],13个无量纲特征量的符号定义为:歪度S1、波型因数S2、冲击指标S3、峰值指标S4、峭度S5、裕度指标S6、重心频率S7、均方频率S8、频率方差S9、内圈频率包络谱特征量S10、外圈频率包络谱特征量S11、滚动体频率包络谱特征量S12、以及保持架频率包络谱特征量S13。故障样本数据如表4所示,其中:“All CV”表示在转速1 500、1 800、2 000、2 400 r/min下,涡轮机匣垂直上方测点获得的样本数据;“1 500 CH”表示在转速1 500 r/min下,涡轮机匣水平方向测点获得的样本数据;其他数据集命名类似。

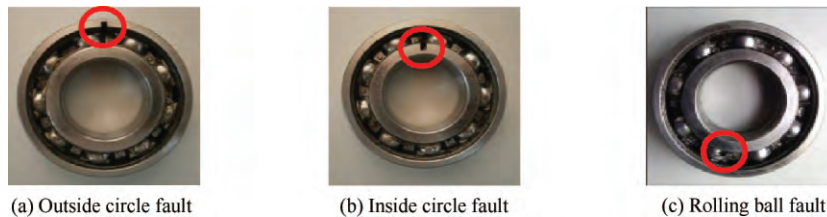


图7 故障加工后的6206型轴承
Fig. 7 Bearing 6206 after fault processing

表3 6206型轴承基本参数

Table 3 Basic parameters of bearing 6206

Bearing designation	Thickness	Outer race diameter	Inner race diameter	Roller diameter	Pitch diameter
6 206	16	62	30	9.5	46

3.2 滚动轴承故障特征选择结果及分析

遗传算法的参数取值:群体规模为50,交叉率为0.7,变异率为0.05,式(6)中的 $t=0.5$,缩放因子 $F=0.5$ 。算法共测试50次,每次运行50代。

对表4的滚动轴承故障样本数据,利用ReliefF算法得到了13个特征的权值,如图8所示。通过图8(a)可以看出,在CV测点,特征9(即S9)的权值最大,即它对分类的重要性最大。而对于图8(b)即在CH测点,对所有的数据集来说,没有具体某个特征对分类的贡献是比较明显

表 4 滚动轴承故障样本数据

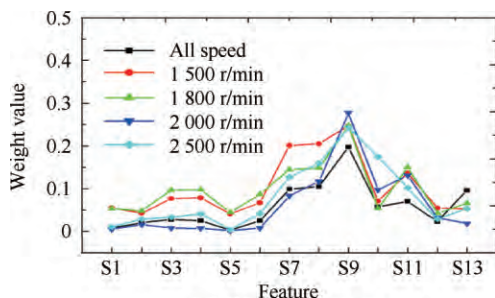
Table 4 Sample data sets of rolling bearing fault diagnosis

Dataset	Number of features	Number of samples
All CV	13	1 907
1 500 CV	13	462
1 800 CV	13	474
2 000 CV	13	475
2 400 CV	13	496
All CH	13	1 907
1 500 CH	13	462
1 800 CH	13	474
2 000 CH	13	475
2 400 CH	13	496

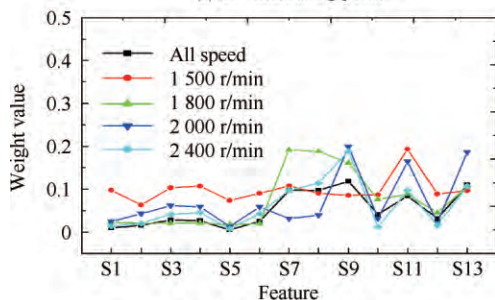
表 5 4 种算法找到的特征子集

Table 5 Selected feature subsets obtained by four algorithms

Dataset	Algorithm			
	MEDEGA	DEGA	RGA	SGA
All CV	2,8,9,10,11	2,8,9,11	2,8,9,11	2,9,11
1 500 CV	7,8,9	7,8,9	7,8,9	7,8,9
1 800 CV	7,9,10,11	7,9,11	7,9,11	7,9,11
2 000 CV	1,7,9,10,11	2,7,9,10,11	7,9,11	9,11
2 400 CV	7,9,10	8,9,10	8,9,10	8,9,10
All CH	2,7,9,11,12	2,8,9,10,11	2,8,9,11	8,9,11
1 500 CH	2,8,9,11	2,8,9,11	2,8,9,11	8,9,11
1 800 CH	7,8,9,11	7,8,9,11	7,8,9	7,8,9,11
2 000 CH	7,8,9,11,13	2,8,9,11	7,9,11	9,11
2 400 CH	8,9,11,12	7,9,11	7,9,11	8,9,11



(a) CV measuring point



(b) CH measuring point

图 8 特征权值

Fig. 8 Feature weight values

的,但相对来说,S9 和 S11 对分类的贡献相对比较大。

针对表 4 的滚动轴承故障样本数据,对所提取出的 13 个特征,分别利用 4 种算法进行特征选择,结果如表 5 所示。利用 Weka 软件对特征选择后的滚动轴承故障进行分类识别,其结果如图 9 所示。在 Weka 软件里采用 J48 算法验证分类的准确率,10 折交叉验证。

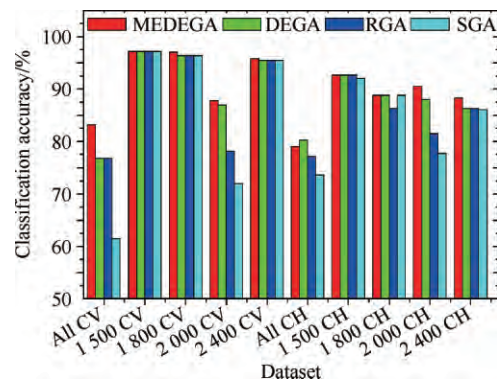


图 9 4 种算法的分类准确率

Fig. 9 Classification accuracy by four algorithms

从表 5 和图 9 可以看出,MEDEGA 找到的特征子集所对应的分类准确率要优于另外 3 种算法,除了 1 个数据集 (All CH) 比最高分类准确率低 1.21%,其他的数据集,MEDEGA 的分类准确率都优于或等于其他的算法 (6 个优于,3 个等于)。并且,个别数据集是以相同的特征组合得到更高的分类准确率;有些数据集是特征子集稍多 1~2 个特征,得到更高的分类准确率,这说明 MEDEGA 具有更强的搜索能力,较好地改善了遗传算法的早熟现象。同时,从表 5 中可以看出,MEDEGA 选出的特征也符合实际的应用。

3.3 滚动轴承故障特征选择中的收敛速度

为了验证算法在滚动轴承故障特征选择中的收敛速度,选取表 5 中的 1 500 CV 数据集作为研

研究对象,这是因为从表 5 可知 4 种算法只在这个数据集上找到的特征子集是相同的,因此,收敛速度的比较是基于各种算法达到的目标相同的情况下进行的。从图 10 中可以看出 MEDEGA 以更快的速度找到最优解。

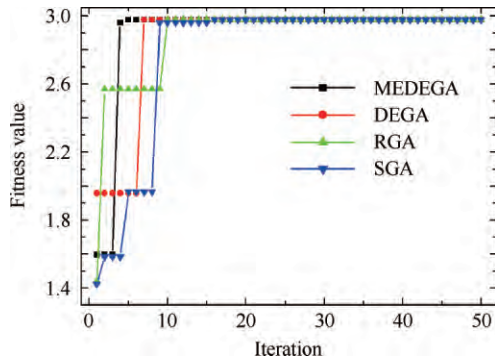


图 10 4 种算法在数据集 1 500 CV 的收敛曲线图
Fig. 10 Convergence graph with four algorithms in dataset 1 500 CV

3.4 采用单准则与多准则的特征选择结果及分类准确率

比较本文算法 MEDEGA(采用多准则融合)与采用单准则(ReliefF、基于类间类内距离)的特征选择方法的性能。它们找到的最优特征子集与分类准确率分别如表 6 和图 11 所示。其中,表 6

表 6 单准则与多准则融合得到的特征子集

Table 6 Selected feature subsets obtained by single criterion and multi-criteria

Dataset	Algorithm		
	MEDEGA	ReliefF	Inter-class and intra-class
All CV	2,8,9,10,11	7,8, 9,11,13	2,9,11
1 500 CV	7,8,9	7,8,9	8,9
1 800 CV	7,9,10,11	7,8,9,11	8,9,11
2 000 CV	1,7,9,10,11	7, 8,9,10,11	10,11
2 400 CV	7,9,10	8,9,10	8,9,10
All CH	2,7,9,11,12	7,8,9,11,13	2,8,9,11
1 500 CH	2,8,9,11	4,7,11	1,7,8,11
1 800 CH	7,8,9,11	7,8,9,13	8,11
2 000 CH	7,8,9,11,13	3,4,9,11,13	7,9,11
2 400 CH	8,9,11,12	7,8,9,13	7,11

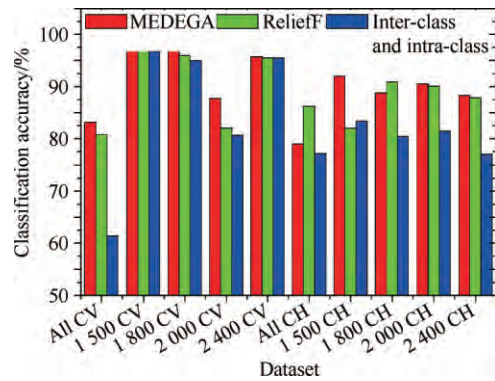


图 11 单准则与多准则融合的分类准确率
Fig. 11 Classification accuracy by single criterion and multi-criteria

中“类间类内”得到的特征子集是将基于类间类内距离的准则与 GA 结合,类间类内距离作为 GA 的适应度函数。另外,考虑到比较的有效性,对于 ReliefF,每个数据集按特征权重大小依次取靠前的特征,且特征个数与 MEDEGA 的特征个数相同。

从图 11 可以看出,10 组数据中,仅有 2 组数据的结果比 ReliefF 稍差,而比类间类内准则的结果均要好。由此可见,MEDEGA 的分类准确率总体上要优于其他两种单准则的分类准确率,说明本文提出的多准则融合方法对提高特征子集的分类准确率是有效的。

4 结 论

1) 提出了一种用于特征选择的多准则融合的差分遗传算法,通过对选择算子和变异算子进行改进,既保证群体多样性,又提高了搜索速度,同时,采用多准则融合的评价准则,增强了解的可靠性。利用仿真实验对算法进行了验证,结果表明了方法的正确有效性。

2) 针对航空发动机转子试验器的滚动轴承故障实验数据,利用本文方法进行了故障特征选择研究,结果也表明了本文方法的有效性。

参 考 文 献

[1] 张学工. 模式识别[M]. 3 版. 北京: 清华大学出版社, 2010: 157.
ZHANG X G. Pattern recognition[M]. 3rd ed. Beijing: Tsinghua University Press, 2010: 157 (in Chinese).
[2] AKRAM A, RAMI N, AHMED A A. Enhancing the di-

- versity of genetic algorithm for improved feature selection [C]//2010 IEEE International Conference on Systems Man and Cybernetics (SMC). Piscataway, NJ: IEEE Press, 2011: 1325-1331.
- [3] MAJID M, NICOLAS H Y. On the use of the genetic algorithm filter-based feature selection technique for satellite precipitation estimation[J]. IEEE Geoscience and Remote Sensing Letters, 2012, 9(5): 963-967.
- [4] CANUTO A M P, NASCIMENTO D S C. A genetic-based approach to features selection for ensembles using a hybrid and adaptive fitness function[C]//The 2012 International Joint Conference on IEEE Neural Networks (IJCNN). Piscataway, NJ: IEEE Press, 2012: 1-8.
- [5] 高鹏毅, 陈传波, 张葵, 等. 一种使用多 Filter 初始化 GA 种群的混合特征选择模型[J]. 小型微型计算机系统, 2012, 33(11): 2379-2384.
GAO P Y, CHEN C B, ZHANG K, et al. Hybrid model initializing the genetic population with multiple filters for feature selection[J]. Journal of Chinese Computer Systems, 2012, 33(11): 2379-2384 (in Chinese).
- [6] 任江涛, 孙婧昊, 黄焕宇, 等. 一种基于信息增益及遗传算法的特征选择算法[J]. 计算机科学, 2006, 33(10): 193-195.
REN J T, SUN J H, HUANG H Y, et al. Feature selection based on information gain and GA[J]. Computer Science, 2006, 33(10): 193-195 (in Chinese).
- [7] 陈果, 邓堰. 遗传算法特征选取中的几种适应度函数构造新方法及其应用[J]. 机械科学与技术, 2011, 30(1): 124-128.
CHEN G, DENG Y. Several new methods for features extraction based on genetic algorithm and their application [J]. Mechanical Science and Technology for Aerospace Engineering, 2011, 30(1): 124-128 (in Chinese).
- [8] 刘元宁, 王刚, 朱晓冬, 等. 基于自适应多种群遗传算法的特征选择[J]. 吉林大学学报(工学版), 2011, 41(6): 1690-1693.
LIU Y N, WANG G, ZHU X D, et al. Feature selection based on adaptive multi-population genetic algorithm[J]. Journal of Jilin University (Engineering and Technology Edition), 2011, 41(6): 1690-1693 (in Chinese).
- [9] KONONENKO I. Estimation attributes: Analysis and extensions of Relief[C]//Proceedings of the 1994 European Conference on Machine Learning, 1994: 171-182.
- [10] 张丽新, 王家威, 赵雁南, 等. 基于 Relief 的组合式特征选择[J]. 复旦学报(自然科学版), 2004, 43(5): 893-898.
ZHANG L X, WANG J X, ZHAO Y N, et al. Combination feature selection based on Relief[J]. Journal of Fudan University (Natural Science), 2004, 43(5): 893-898 (in Chinese).
- [11] 杨启文, 蒋静坪, 曲朝霞, 等. 应用逻辑操作改善遗传算法性能[J]. 控制与决策, 2000, 15(4): 510-512.
YANG Q W, JIANG J P, QU Z X, et al. Improving genetic algorithms by using logic operation[J]. Control and Decision, 2000, 15(4): 510-512 (in Chinese).
- [12] DENG C, ZHAO B, YANG Y, et al. Binary encoding differential evolution for combinatorial optimization problems [C]//Proceedings of the 2011 Third International Workshop on Education Technology and Computer Science, 2011: 11-14.
- [13] 刘琛, 林盈, 胡晓敏. 差分演化算法各种更新策略的对比分析[J]. 计算机科学与探索, 2013, 7(11): 983-993.
LIU C, LIN Y, HU X M. Analyses and comparisons of different update strategies for differential evolution [J]. Journal of Frontiers of Computer Science and Technology, 2013, 7(11): 983-993 (in Chinese).
- [14] 周明. 遗传算法原理及应用[M]. 北京: 国防工业出版社, 1999: 59.
ZHOU M. Genetic algorithms: Theory and applications [M]. Beijing: National Defense Industry Press, 1999: 59 (in Chinese).
- [15] 陈果, 郝腾飞, 程小勇, 等. 基于机匣测点信号的航空发动机滚动轴承故障诊断灵敏度分析[J]. 航空动力学报, 2014, 29(12): 2874-2884.
CHEN G, HAO T F, CHENG X Y, et al. Sensitivity analysis of fault diagnosis of aero-engine rolling bearing based on vibration signal measured on casing[J]. Journal of Aerospace Power, 2014, 29(12): 2874-2884 (in Chinese).
- [16] 梅宏斌. 滚动轴承振动监测与诊断[M]. 北京: 机械工业出版社, 1995.
MEI H B. Rolling bearing vibration monitoring and diagnosis [M]. Beijing: China Machine Press, 1995 (in Chinese).
- 作者简介:
关晓颖 女, 博士研究生. 主要研究方向: 智能计算、遗传算法、模式识别及故障诊断。
Tel.: 025-84891850
E-mail: xiaoying_close@sina.com
- 陈果 男, 博士, 教授, 博士生导师. 主要研究方向: 航空发动机智能诊断及专家系统, 航空发动机整机振动与转子动力学、故障诊断。
Tel.: 025-84891850
E-mail: cgzyx@263.net
- 林桐 男, 硕士研究生. 主要研究方向: 航空发动机状态检测与故障诊断技术。
Tel.: 025-84891850
E-mail: nuaa_lintong@163.com

Feature selection method based on differential evolution and genetic algorithm with multi-criteria evaluation and its applications

GUAN Xiaoying, CHEN Guo^{*}, LIN Tong

College of Civil Aviation, Nanjing University of Aeronautics and Astronautics, Nanjing 210016, China

Abstract: In order to make a whole evaluation to the selected feature subset, which improves the reliability of the best subset and the speed of its searching, the paper presents a novel feature method based on differential evolution and genetic algorithm with multi-criteria evaluation. This algorithm is used to evaluate the feature subset by the multi-criteria evaluation. Meanwhile, the improved genetic operators were proposed, which improves the selection operator and the mutation operator. Designing the selection operator with a combination of feature weight values and fitness is beneficial to selecting the individuals which contain the high fitness and important features from the population. In addition, it introduces differential strategy to improve mutation operator, which improves the diversity of evolution population and searching efficiency. Finally, simulation example tests the validity of the proposed algorithm. The validity of the proposed method is also verified with rolling bearing fault diagnosis.

Key words: feature selection; multi-criteria; differential evolution; genetic algorithm; rolling bearing; fault diagnosis

Received: 2015-11-19; Revised: 2016-01-14; Accepted: 2016-01-29; Published online: 2016-02-02 16:27

URL: www.cnki.net/kcms/detail/11.1929.V.20160202.1627.004.html

Foundation item: National Natural Science Foundation of China (61179057)

^{*} Corresponding author. Tel.: 025-84891850 E-mail: cgzyx@263.net